

# **DS SCIENCES PHYSIQUES MATHSPÉ**

**calculatrice: autorisée**

**durée: 4 heures**

## **Sujet**

<u>Fibre optique</u> .....	2
I. <u>Loi de Snell-Descartes pour la réfraction</u> .....	2
A. <u>Principe de Fermat</u> .....	2
B. <u>Approche ondulatoire</u> .....	2
C. <u>Réflexion totale</u> .....	3
II. <u>Fibre optique (ou guide) à saut d'indice</u> .....	4
A. <u>Ouverture numérique</u> .....	4
B. <u>Modes</u> .....	5
III. <u>Analogie avec un guide d'ondes</u> .....	6
<u>Aluminium</u> .....	8
I. <u>Étude du diagramme potentiel-pH de l'aluminium</u> .....	8
II. <u>Cinétique</u> .....	9

---

---

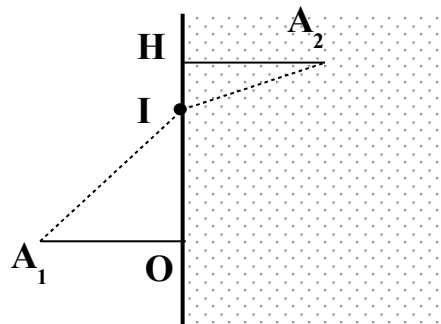
# Fibre optique

Le guidage de la lumière est assuré par des fibres optiques: c'est un guide d'onde pour les radiations lumineuses. Une fibre optique est constituée d'un cylindre de verre (ou de plastique) appelé cœur, entouré d'une gaine transparente d'indice de réfraction plus faible. Le diamètre du cœur est de l'ordre de  $50 \mu\text{m}$  et le diamètre extérieur de la gaine est de l'ordre de  $100 \mu\text{m}$ .

## I. Loi de Snell-Descartes pour la réfraction

### A. Principe de Fermat

On considère un dioptré plan séparant deux milieux transparents homogènes, d'indices de réfraction différents  $n_1$  et  $n_2$ .



Les deux points  $A_1$  et  $A_2$  sont fixés:  $A_1$  situé dans le premier milieu d'indice  $n_1$  est à la distance  $x_1$  du dioptré et  $A_2$  dans le second milieu d'indice  $n_2$  est à la distance  $x_2$  du dioptré.  $O$  et  $H$  désignent les projetés de  $A_1$  et  $A_2$  sur le dioptré. Le point  $I$  sur le dioptré (tel que  $A_1$ ,  $A_2$  et  $I$  appartiennent au même plan) est repéré par  $OI = z$ . On pourra poser  $OH = h$ .

On suppose que le trajet de la lumière pour aller de  $A_1$  à  $A_2$  passe par le point  $I$ . Il est donc composé du trajet rectiligne  $A_1I$  dans le milieu 1 et du trajet rectiligne  $IA_2$  dans le milieu 2.

1. Rappeler l'expression de la vitesse  $v$  de la lumière dans un milieu d'indice  $n$  en fonction de  $c$  et  $n$  (la célérité de la lumière dans le vide est notée  $c$ ).
2. Exprimer la durée  $t(z)$  du trajet en fonction de  $n_1, n_2, z, h, x_1, x_2, c$ .
3. On cherche la position du point  $I$  pour lequel cette durée est minimale.
  - Déterminer la relation vérifiée par  $z$  afin que la durée du trajet soit extrême.
  - Justifier qualitativement que cette durée est un minimum.
  - Montrer que le trajet pour cette valeur de  $z$  respecte la loi de Snell-Descartes pour la réfraction.

### B. Approche ondulatoire

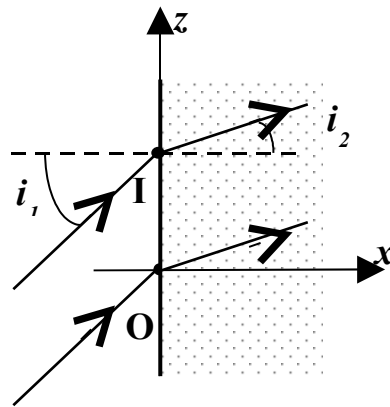
4. Soit un milieu transparent d'indice  $n$ . On considère dans ce milieu une onde lumineuse  $\Psi = \Psi_0 \exp[j(\omega t - \vec{k} \cdot \vec{r})]$ . Rappeler l'expression donnant le module  $k$  de  $\vec{k}$  en fonction de la longueur d'onde  $\lambda$  dans le milieu.

5. En déduire l'expression de  $k$  en fonction de la longueur d'onde  $\lambda_0$  dans le vide et de l'indice  $n$  du milieu.

Une onde dont le vecteur d'onde est  $\vec{k}_1$  dans le milieu 1 arrive sur une surface plane séparant deux milieux transparents d'indice  $n_1$  et  $n_2$ . Les rayons sont dans le plan  $xOz$ . L'angle d'incidence est noté  $i_1$ . Le vecteur d'onde est noté  $\vec{k}_2$  dans le milieu 2. On prendra l'origine en  $O$  appartenant à la surface  $yOz$  du dioptre.

L'onde incidente en  $O$  est  $\underline{\Psi}_1(O, t) = \Psi_{10} \exp[j(\omega t - \varphi_1(O))]$ .

L'onde réfractée en  $O$  est  $\underline{\Psi}_2(O, t) = \Psi_{20} \exp[j(\omega t - \varphi_2(O))]$  (On ne décrit pas, dans cette question, l'onde réfléchie).



On considère un point  $I$  quelconque sur la surface du dioptre ( $x(I) = 0$ ).

6. Écrire  $\underline{\Psi}_1(I, t)$  et  $\underline{\Psi}_2(I, t)$  en utilisant notamment  $\vec{k}_1$ ,  $\vec{k}_2$ ,  $\vec{r} = \vec{OI}$ .

7. Le déphasage entre l'onde incidente et l'onde réfractée doit être indépendant du point  $I$  choisi sur la surface du dioptre. Écrire ce déphasage et en déduire avec précision que  $k_{2,z} = k_{1,z}$  ( $k_{2,z}$  et  $k_{1,z}$  sont les coordonnées des vecteurs d'onde selon  $z$ ).

8. Écrire la relation entre  $k_{2,x}$ ,  $k_{2,z}$ ,  $\lambda_0$ ,  $n_2$  et en déduire la relation entre  $k_{2,x}$ ,  $k_{1,z}$ ,  $\lambda_0$ ,  $n_2$ .

On suppose maintenant que l'onde lumineuse dans le milieu 2 est progressive. On a dessiné les rayons lumineux associés aux ondes progressives sur la figure précédente. Les angles d'incidence et de réfraction sont notés  $i_1$  et  $i_2$ . Les angles sur la figure sont comptés positivement.

9. Retrouver en utilisant le résultat de la question 7) la loi de Descartes pour la réfraction.

### C. Réflexion totale

On suppose que l'onde arrive sur un milieu moins réfringent ( $n_2 < n_1$ ). Dans ce cas, l'onde dans le milieu 2 n'est pas toujours une onde plane progressive.

10. Définir l'angle limite  $i_{1,\text{lim}}$  pour le rayon incident tel qu'il n'existe plus de rayon réfracté et préciser son expression en fonction des indices. Que devient l'énergie lumineuse incidente lorsque la réfraction n'existe plus?

Soit une onde incidente  $\underline{\Psi}_1 = \Psi_{01} \exp j(\omega t - k_1 x \cos(i_1) - k_1 z \sin(i_1))$  dans le milieu 1 en un point de coordonnées  $(x, y, z)$ . On suppose que l'angle  $i_1$  est supérieur à l'angle limite précédent.

11. En utilisant 7) et 8) trouver les coordonnées de  $\vec{k}_2$  et montrer que  $\vec{k}_2$  est complexe. On obtiendra deux solutions.

On s'intéresse alors à l'onde transmise dans le milieu 2 en un point de coordonnées  $(x, y, z)$ . Cette onde est une onde évanescente qui ne transporte pas d'énergie.

12. Le milieu étant considéré comme infini selon  $x$ , montrer que cette onde a pour expression:

$\underline{\Psi}_2 = \Psi_{02} \exp(-x/\delta) \exp j(\omega t - k_1 z \sin(i_1))$  et donner l'expression de  $\delta$  en fonction de  $\lambda_0, n_1, n_2, i_1$ .

13. Quelle est la direction de propagation de l'onde transmise? Déterminer la vitesse de phase de cette onde. Est-elle supérieure ou inférieure à la vitesse de la lumière dans ce milieu?

14. Représenter  $\Psi_2$  en fonction de  $x$  (à  $z$  constant) à différents instants. Commenter le phénomène selon  $x$ .

## II. Fibre optique (ou guide) à saut d'indice

Soit une fibre optique constituée d'un cœur cylindrique de rayon  $a$  et d'indice  $n_1$ , entouré d'une gaine d'indice  $n_2$  inférieur à  $n_1$ . Les faces d'entrée et de sortie sont perpendiculaires au cylindre d'axe  $Oz$  formé par la fibre. L'ensemble, en particulier la face d'entrée, est en contact avec un milieu d'indice  $n_0$  et pour les applications numériques on supposera que ce milieu est de l'air pour lequel  $n_0 = 1$ .

### A. Ouverture numérique

15. Un rayon lumineux  $SI$  arrive en un point  $I$  sur la face d'entrée de la fibre. A quelle(s) condition(s) d'incidence ce rayon a-t-il, dans la fibre, un trajet plan?

Dans la suite, on étudie, pour simplifier, une géométrie bidimensionnelle: on considère en fait une couche plane (cœur) d'épaisseur  $2a$ , d'indice  $n_1$  immergée dans une gaine d'indice  $n_2$  et le trajet étudié est plan. On considère un rayon  $SI$  incident sur le cœur et contenu dans le plan  $Oxz$ . On appelle  $\theta_i$  l'angle d'incidence et  $i$  l'angle avec la direction  $Ox$  dans le milieu d'indice  $n_1$ .

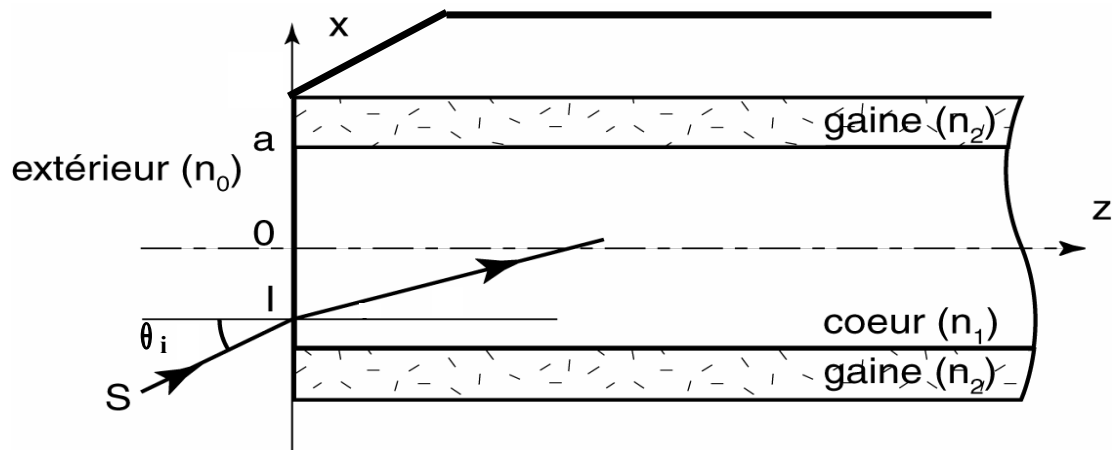
16. Quelle inégalité doit vérifier le sinus de l'angle  $i$  pour que le rayon lumineux subisse une réflexion totale sur l'interface cœur-gaine? La valeur extrême de  $i$  est désignée par  $i_L$ .

17. En déduire en fonction de  $n_0, n_1$  et  $n_2$  la condition que doit satisfaire  $\sin(\theta_i)$  pour que le rayon réfracté ait une propagation guidée en subissant des réflexions totales à chaque fois qu'il rencontre le dioptré cœur-gaine.

18. La valeur extrême de  $\theta_i$  est alors désignée par  $\theta_m$  (angle d'acceptance de la fibre). On

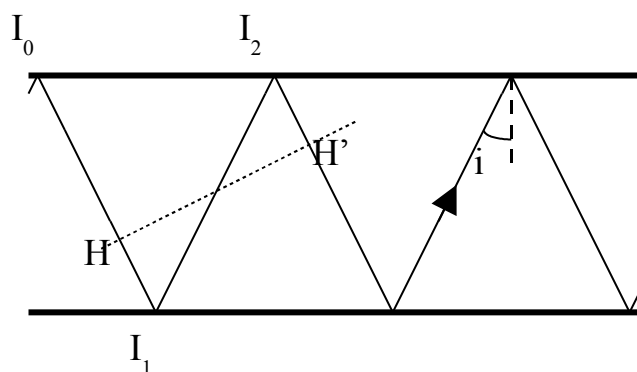
appelle ouverture numérique (  $O.N.$  ) du guide la quantité  $O.N. = n_0 \cdot \sin(\theta_m)$  .

- Exprimer  $O.N.$  en fonction de  $n_1$  et  $n_2$  .
- Calculer  $i_L$  et  $\theta_m$  (en degrés) puis  $O.N.$  pour une fibre d'indices  $n_1 = 1,456$  (silice) et  $n_2 = 1,410$  (silicone).
- Quelle serait la valeur de ces grandeurs pour un guide d'onde à base d'arséniure de gallium pour lequel  $n_1 = 3,9$  et  $n_2 = 3,0$  ? Commentaires.



## B. Modes

La condition obtenue précédemment (cf:  $\theta_m$  ) est non suffisante pour rendre compte en détail de la propagation dans la fibre. En réalité, en un point quelconque dans le cœur de la fibre, l'intensité lumineuse résulte de la superposition des ondes qui se sont réfléchies en des points  $I_0$  ,  $I_1$  ,  $I_2$  ...etc. On ne tient pas compte de l'éventuel déphasage introduit par la réflexion sur l'interface coeur/gaine.



19.  $H$  et  $H'$  appartiennent au plan perpendiculaire au rayon  $I_0I_1$  (voir figure).

A quelle condition sur la différence de phases  $\varphi = \varphi_{H'} - \varphi_H$  les ondes en  $H$  et en  $H'$  sont-elles en concordance de phase?

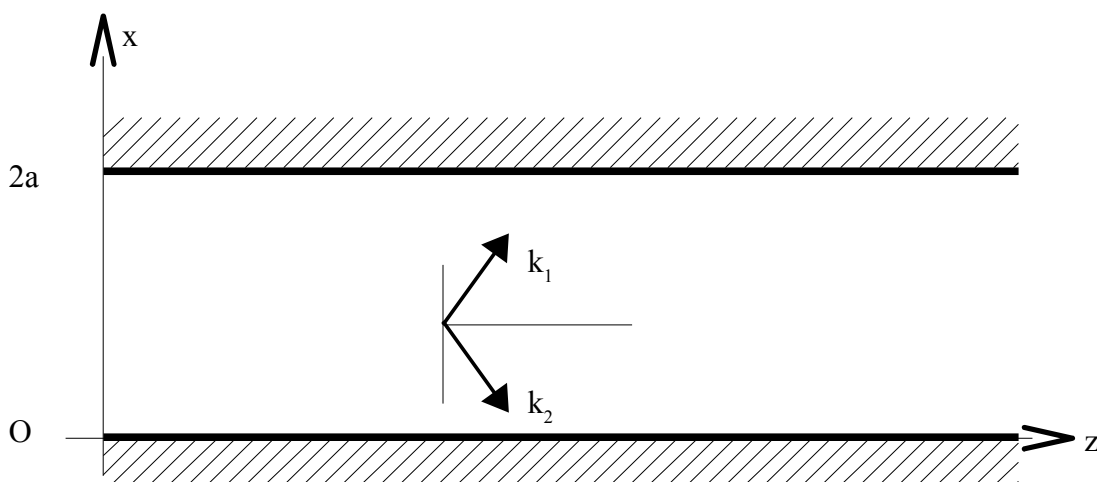
20. Calculer la distance parcourue par le rayon entre  $H$  et  $H'$  . (Pour faire ce calcul, il est plus

pratique de considérer un point  $H$  en  $I_1$ ) en fonction de  $a$  et  $\cos(i)$ . En déduire le déphasage retard dû à cette propagation.

21. La propagation guidée n'est en fait possible que si le plan précédent est un plan d'onde pour les rayons parallèles à  $I_0I_1$ . En déduire l'existence de modes de propagation, valeurs discrètes de  $i$  notées  $i_m$  où  $m$  est un entier, pour lesquelles la propagation est possible. On exprimera  $\cos(i_m)$  en fonction de l'entier  $m$  et de  $a$ ,  $n_1$ ,  $\lambda_0$ .
22. Exprimer le nombre  $N$  de modes possibles en fonction de  $a$ ,  $n_1$ ,  $n_2$ ,  $\lambda_0$ . Il existe toujours au moins une onde qui se propage dans la fibre correspondant à  $\theta_i=0$ .
23. Le rayon du cœur  $a$  étant donné, démontrer l'existence d'une fréquence de coupure pour le mode d'ordre  $m$ . Préciser le comportement fréquentiel du dispositif.
24. Le mode fondamental correspond, par définition, à  $m=0$ . Exprimer, puis calculer, pour  $\lambda_0=1,5 \cdot 10^{-6}$  m, la valeur maximale que peut prendre  $a$  pour que seul ce mode se propage. On dit alors que la fibre est monomode.
25. Soit  $L$  la longueur de la fibre. Exprimer la différence  $\Delta t$  de temps de parcours de l'entrée à la sortie, entre le trajet de durée minimale  $i=\pi/2$  et le trajet maximal  $i=i_L$  en fonction de  $n_1$ ,  $n_2$ ,  $L$ ,  $c$ .
26. On envoie à l'entrée de la fibre des impulsions lumineuses très brèves avec une période  $T$ . A quelle condition sur  $T$  les impulsions seront-elles séparées à la sortie? En déduire une valeur limite  $R_{max}$  pour le débit de la ligne en bits par seconde. Application numérique:  $L=1$  km.

### III. Analogie avec un guide d'ondes

Pour expliquer la propagation d'ondes dans la fibre, on fera l'analogie avec la propagation guidée d'une onde électromagnétique, de longueur d'onde  $\lambda_0$ , entre deux plans parallèles conducteurs parfaits distants de  $2a$ . Pour simplifier l'étude, l'origine  $O$  est ici différente et le milieu est supposé être le vide.



Deux ondes électromagnétiques  $\Sigma_1$  et  $\Sigma_2$  planes, progressives, polarisées rectilignement selon  $\vec{u}_y$ , sinusoïdales de même pulsation  $\omega$ , se propagent dans le vide. Les vecteurs d'ondes  $\vec{k}_1$

et  $\vec{k}_2$  de norme  $k_0 = \frac{2\pi}{\lambda_0}$  sont dans le plan  $(\vec{u}_x, \vec{u}_z)$  et sont symétriques par rapport au plan  $(\vec{u}_y, \vec{u}_z)$ . On note  $i$  l'angle de  $\vec{k}_1$  avec  $\vec{u}_x$ . Les champs électriques de ces ondes s'écrivent au point  $O$  :  $\vec{E}_1 = E_{10} \exp j(\omega t) \vec{u}_y$  ( $E_{10}$  est réel) et  $\vec{E}_2 = E_{20} \exp j(\omega t) \vec{u}_y$  ( $E_{20}$  non connu est a priori complexe pour traduire un déphasage)

27. Justifier qualitativement le fait que l'onde qui se propage dans la fibre est la composition de 2 ondes symétriques par rapport à un plan  $(\vec{u}_y, \vec{u}_z)$ .

28. Donner les composantes de  $\vec{k}_1$  et  $\vec{k}_2$  en fonction de  $k_0$  et  $i$ .

29. Exprimer les champs électriques des deux ondes à un instant  $t$  et en un point  $M(x, y, z)$  quelconque.

30. Écrire les conditions aux limites.

31. Montrer que pour un guide et une onde où  $a$  et  $\lambda_0$  sont fixés, il existe un nombre fini d'angles convenables, (un nombre fini de modes de propagation). On fera intervenir un entier  $m$ . Expliquer pourquoi la valeur  $m=0$  correspondant à  $i=\pi/2$  ne convient pas ici.

32. Exprimer le nombre  $N$  de modes.

33. Trouver une condition pour que ce guide soit monomode et donner dans ce cas l'expression du champ  $\vec{E}$  et du champ  $\vec{B}$  en fonction des données  $(a, \lambda_0, c \dots)$ .

34. Exprimer pour le guide monomode

- la fréquence de coupure
- la valeur moyenne dans le temps du vecteur de Poynting
- la puissance (moyenne dans le temps) du guide supposé de section carrée

# Aluminium

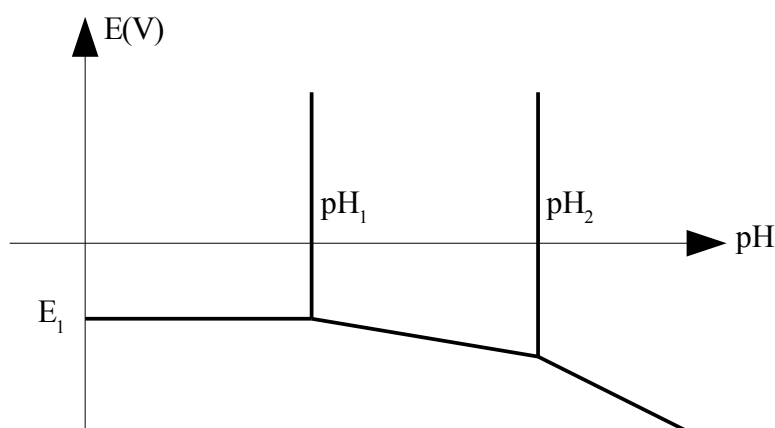
## I. Étude du diagramme potentiel-pH de l'aluminium

On s'intéresse dans ce diagramme aux espèces  $Al(s)$ ,  $Al^{3+}(aq)$ ,  $Al(OH)_3(s)$  et  $Al(OH)_4^-(aq)$ . Le diagramme pour une concentration globale en espèces dissoutes égale à  $c = 10^{-6} \text{ mol.L}^{-1}$  a l'allure suivante (voir figure) avec

$$E_1 = -1,79 \text{ V}$$

$$pH_1 = 4,7$$

$$pH_2 = 8,7$$

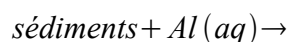


- Donner les degrés d'oxydation de l'aluminium dans les espèces étudiées.
- Identifier les différents domaines du diagramme. Pour chaque domaine, préciser s'il s'agit de domaine d'existence ou de prédominance?
- Soit une solution acide ( $pH=1$ ) d'ions  $Al^{3+}$  à la concentration  $c = 10^{-6} \text{ mol.L}^{-1}$ . On augmente progressivement le  $pH$  de cette solution par addition d'une solution concentrée de soude (on néglige la dilution).
  - Pour quel intervalle de  $pH$  le précipité est-il présent ?
  - Montrer que l'espèce  $Al(OH)_3(s)$  est amphotère. Écrire les deux équations-bilans correspondantes de  $Al(OH)_3(s)$ . La réaction en milieu acide sera équilibrée avec des  $H_3O^+$  et la réaction en milieu basique sera équilibrée avec des  $HO^-$ .
- Calculer le potentiel normal  $E^\circ(Al^{3+}(aq)/Al(s))$ . Écrire la demi-réaction correspondante.
- Calculer le produit de solubilité  $pK_S$  de l'hydroxyde  $Al(OH)_3(s)$ . Écrire la réaction correspondante.
- Calculer la constante de formation globale  $\beta_4$  du complexe tétrahydroaluminate(III)  $Al(OH)_4^-(aq)$ . Écrire la réaction utilisée.

7. Calculer les pentes des différents segments du diagramme.
8. On étudie la solubilité de l'aluminium. Soit  $s=c_{Al}$  la concentration totale de l'élément aluminium en solution en présence du précipité de  $Al(OH)_3(s)$ .
- Exprimer  $s$  sous la forme d'une somme de concentrations puis l'écrire en fonction de  $h$  et des diverses constantes d'équilibre.
  - Tracer  $\log(s)$  en fonction du  $pH$  en ne considérant pour chaque  $pH$  que l'espèce soluble prédominante. Calculer les coordonnées du point particulier et préciser sa signification.
9. Établir les équations du diagramme potentiel-pH relatif aux couples de l'eau. On choisira une pression de 1 bar pour les espèces gazeuses. Représenter ce diagramme potentiel-pH de l'eau et celui de l'aluminium sur le même graphe. On donne  $E^\circ(O_2(g)/H_2O(l))=1,23 V$ .
10. L'aluminium est un métal très peu noble. Pourquoi? Indiquer les domaines de corrosion, passivité et immunité de l'aluminium sur le graphe précédent.
11. On observe que l'aluminium perd son éclat métallique à l'air ambiant et que dès lors il n'est plus attaqué par l'eau ou l'air. Quelle conclusion peut-on en tirer? L'aluminium peut être attaqué par des solutions suffisamment acides ou alcalines. Expliquer. L'aluminium en poudre est lui par contre très réactif vis-à-vis de l'eau et de l'air. Proposer une explication.
12. Écrire la réaction de l'aluminium sur l'eau en milieu fortement acide. Écrire la réaction de l'aluminium sur l'eau en milieu fortement basique. Calculer la constante d'équilibre en milieu acide. Conclure.

## II. Cinétique

On étudie l'action des ions aluminium sur des sédiments en milieu très alcalin. L'aluminium est sous différentes formes solubles en solution. On le note symboliquement ici  $Al(aq)$ .



On note  $[Al(aq)](t)$  la concentration totale de l'aluminium en solution,  $[Al(aq)]_0$  la concentration initiale et  $k$  la constante de vitesse. On suppose que la réaction est du premier ordre.

13. Établir l'évolution de la concentration au cours du temps.

Pour une concentration initiale  $[Al(aq)]_0 = 0,055 \text{ mol.L}^{-1}$ , on obtient le tableau suivant :

$t$ en $h$	0	200	400	600	800	1000	1200
$[Al(aq)](t)$ en $\text{mol.L}^{-1}$	$55,0 \cdot 10^{-3}$	$23,0 \cdot 10^{-3}$	$9,80 \cdot 10^{-3}$	$4,10 \cdot 10^{-3}$	$1,70 \cdot 10^{-3}$	$0,75 \cdot 10^{-3}$	$0,31 \cdot 10^{-3}$

14. A l'aide d'une régression linéaire, déterminer  $k$  avec trois chiffres significatifs.
15. Retrouver l'expression du temps de demi réaction et donner sa valeur numérique.
16. L'expérience est répétée avec  $[Al(aq)]_0 = 0,11 \text{ mol.L}^{-1}$ . On trouve  $k = 10^{-3}$  (en utilisant les unités précédentes). Conclure quant à la validité de l'hypothèse.

On donne  $\frac{RT}{F} \ln(10) = 0,06 \text{ V}$  à 298K  
*produit ionique de l'eau* :  $K_e = 10^{-14}$

---

## Réponses

### Fibre optique

$$1) \quad v = \frac{c}{n}$$

$$2) \quad t(z) = \frac{\| \vec{A_1 I} \|}{v_1} + \frac{\| \vec{I A_2} \|}{v_2}$$

$$t(z) = \frac{1}{c} \left( n_1 \sqrt{x_1^2 + z^2} + n_2 \sqrt{x_2^2 + (h-z)^2} \right)$$

3) On a extremum si  $\frac{dt}{dz} = 0$

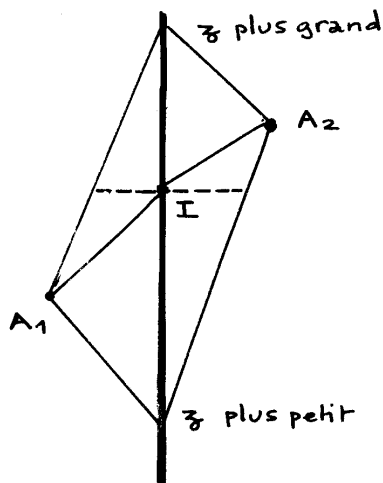
$$\frac{dt(z)}{dz} = \frac{1}{c} \left( n_1 \frac{2z}{2\sqrt{x_1^2 + z^2}} + n_2 \frac{2(h-z)(-1)}{2\sqrt{x_2^2 + (h-z)^2}} \right) = 0$$

soit  $z$  à l'extremum vérifie :

$$n_1 \frac{z}{\sqrt{x_1^2 + z^2}} = n_2 \frac{(h-z)}{\sqrt{x_2^2 + (h-z)^2}}$$

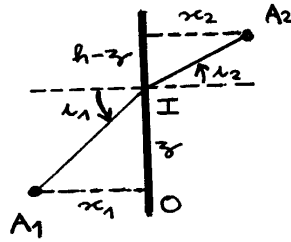
• Cet extremum est un minimum

Il est en effet évident que si  $z$  augmente (Ex:  $z \rightarrow +\infty$ ) ou si  $z$  diminue (Ex:  $z \rightarrow -\infty$ ), le trajet dure plus longtemps.



• Ce principe d'extremum (principe de Fermat) permet de retrouver la loi de Snell - Descartes

$$n_1 \sin \alpha_1 = n_2 \sin \alpha_2$$



puisque  $\sin i_1 = \frac{z}{\sqrt{x_1^2 + z^2}}$

$$\sin i_2 = \frac{h-z}{\sqrt{x_2^2 + (h-z)^2}}$$

Commentaire : la ligne droite n'est pas le trajet le plus court. Si  $v_2 < v_1$  il est préférable de choisir un trajet de longueur plus importante dans 1 que la ligne directe afin de diminuer la longueur dans 2 par rapport à cette ligne directe.

4)

$$k = \frac{2\pi}{\lambda}$$

5)

$$\left. \begin{array}{l} \lambda = v T \\ \lambda_0 = c T \end{array} \right\} \text{ donc } \frac{\lambda}{\lambda_0} = \frac{1}{n}$$

$$k = \frac{2\pi}{\lambda_0} n \quad \text{ou } k_0 n$$

6) En O :  $\underline{\Psi}_1(0, t) = \Psi_{10} \exp j(\omega t - \varphi_1(0))$

En I :  $\underline{\Psi}_1(I, t) = \Psi_{10} \exp j(\omega t - \varphi_1(0) - k_1 \vec{r}_{OI})$

De même :

$$\underline{\Psi}_2(0, t) = \Psi_{20} \exp j(\omega t - \varphi_2(0))$$

$$\underline{\Psi}_2(I, t) = \Psi_{20} \exp j(\omega t - \varphi_2(0) - k_2 \vec{r}_{OI})$$

7) Le problème suppose qu'au cours de la réfraction, il apparaît un déphasage retard

- en O :  $\Delta\varphi(0) = \varphi_2(0) - \varphi_1(0)$

- en I :  $\Delta\varphi(I) = (\varphi_2(0) + \vec{k}_2 \cdot \vec{r}_{OI}) - (\varphi_1(0) + \vec{k}_1 \cdot \vec{r}_{OI})$

donc :

$$\Delta\varphi(I) = \Delta\varphi(0) + (\vec{k}_2 - \vec{k}_1) \cdot \vec{r}_{OI}$$

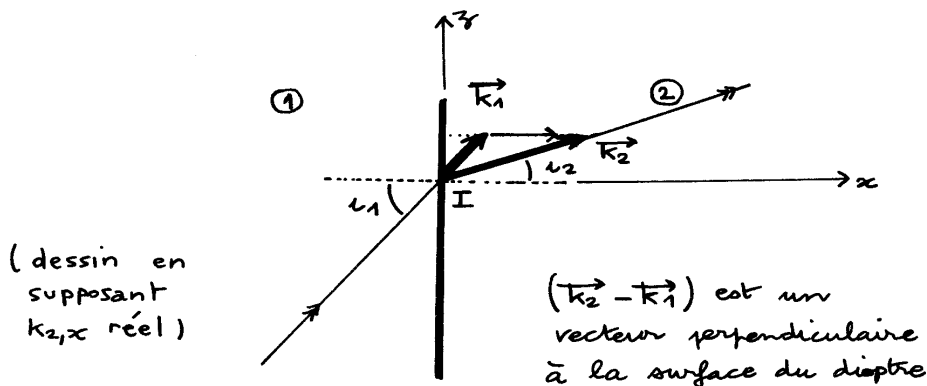
Ce déphasage ne doit pas dépendre du point choisi sur la surface du dioptre donc :

$$(\vec{k}_2 - \vec{k}_1) \cdot \vec{r}_{OI} = 0 \quad \forall I \text{ sur surface}$$

$$\begin{array}{c|c|c} k_{2,x} & k_{1,x} & 0 \\ \hline 0 & 0 & y \\ \hline k_{2,z} & k_{1,z} & z \end{array}$$

soit  $(k_{2,z} - k_{1,z})z = 0 \quad \forall z$

$$k_{2,z} = k_{1,z}$$



8) Dans le milieu 2, on a  $\vec{k}_2 = k_{2,x} \vec{u}_x + k_{2,z} \vec{u}_z$

et  $\|\vec{k}_2\| = k_0 n_2 = \frac{2\pi}{\lambda_0} n_2$

donc

$$k_{2,x}^2 + k_{2,z}^2 = \frac{4\pi^2}{\lambda_0^2} n_2^2$$

ou

$$k_{2,x}^2 + k_{1,z}^2 = \frac{4\pi^2}{\lambda_0^2} n_2^2$$

9) Il existe un angle  $i_2$  si l'onde est progressive dans le milieu 2.

$$\text{On a } \vec{k}_1 = n_1 k_0 (\cos i_1 \vec{u}_x + \sin i_1 \vec{u}_z)$$

$$\vec{k}_2 = n_2 k_0 (\cos i_2 \vec{u}_x + \sin i_2 \vec{u}_z)$$

$$\text{On écrit } k_{1,z} = k_{2,z}$$

$$n_1 k_0 \sin i_1 = n_2 k_0 \sin i_2$$

$$\boxed{n_1 \sin i_1 = n_2 \sin i_2}$$

on vient de retrouver la loi de Snell-Descartes.

10)  $n_2 < n_1$  donc  $i_2 > i_1$

Pour qu'il existe un rayon réfracté, il faut que  $\sin i_2 \leq 1$  et donc dans le cas limite ( $i_2 = \pi/2$ )

$$n_1 \sin i_1 = n_2 \sin i_2$$

$$n_1 \sin i_{1,\text{lim}} = n_2 \quad 1$$

$$\boxed{\sin i_{1,\text{lim}} = \frac{n_2}{n_1}}$$

Dans le cas où  $i_2$  n'existe plus, il n'y a pas de réfraction et toute l'énergie subit une réflexion totale sur le dioptre.

11)

$$\underline{\Psi}_1 = \Psi_{01} \exp j(\omega t - \vec{k}_1 \cdot \vec{r})$$

$$\begin{array}{l|l} k_{1x} = k_1 \cos i_1 & x \\ 0 & y \\ k_{1z} = k_1 \sin i_1 & z \end{array}$$

$$\boxed{\underline{\Psi}_1 = \Psi_{01} \exp j(\omega t - k_1 x \cos i_1 - k_1 z \sin i_1)}$$

(avec  $n_1 \sin i_1 > n_2$ )

$$\underline{\Psi}_2 = \underline{\Psi}_{02} \exp j(\omega t - \vec{k}_2 \cdot \vec{r})$$

↳ complexe car déphasage éventuel lors du changement de milieu

$$\begin{array}{l|l} k_{2x} & x \\ 0 & y \\ k_{2z} & z \end{array}$$

$$\underline{\Psi_2} = \underline{\Psi_{02}} \exp j(\omega t - k_{2x}x - k_{2z}z)$$

avec cf 7)

$$k_{2z} = k_{1z}$$

$$\underline{k_{2z}} = \underline{\frac{2\pi}{\lambda_0} n_1 \sin \alpha_1}$$

et cf 8)

$$\begin{aligned} k_{2x}^2 &= \frac{4\pi^2}{\lambda_0^2} n_2^2 - k_{1z}^2 \\ &= \frac{4\pi^2}{\lambda_0^2} n_2^2 - \frac{4\pi^2}{\lambda_0^2} n_1^2 \sin^2 \alpha_1 \\ &= \frac{4\pi^2}{\lambda_0^2} \underbrace{(n_2^2 - n_1^2 \sin^2 \alpha_1)}_{< 1 \text{ ici}} \end{aligned}$$

donc deux possibilités pour  $k_{2x}$  :

$$\underline{k_{2x}} = \pm j \frac{2\pi}{\lambda_0} \sqrt{n_1^2 \sin^2 \alpha_1 - n_2^2} = \pm j \frac{1}{\delta}$$

12) finalement,  $\underline{\Psi_2}$  est la somme de deux solutions indépendantes :

$$\begin{aligned} \underline{\Psi_2} &= \underline{A} \exp \frac{x}{\delta} \exp j(\omega t - k_{1z}z) \\ &+ \underline{B} \exp -\frac{x}{\delta} \exp j(\omega t - k_{1z}z) \end{aligned}$$

Le milieu est infini selon  $x$  donc la solution en  $\exp \frac{x}{\delta}$  qui tend vers l'infini si  $x$  tend vers l'infini est à éliminer.

Finalement :

$$k_{2,x} = - \frac{j}{\delta} \text{ avec}$$

$$\delta = \frac{\lambda_0}{2\pi \sqrt{n_1^2 \sin^2 \alpha_1 - n_2^2}}$$

$$\underline{\Psi_2} = \underline{\Psi_{2,0}} \exp -\frac{x}{\delta} \exp j(\omega t - k_{1z}z)$$

13) Cette onde dans le milieu 2 est progressive selon  $z$

$$\begin{aligned} \text{avec une vitesse } \vec{v}_{\varphi,2} &= \frac{\omega}{k_{z,2}} \vec{u}_z \\ &= \frac{\omega}{k_1 \sin i_1} \vec{u}_z \end{aligned}$$

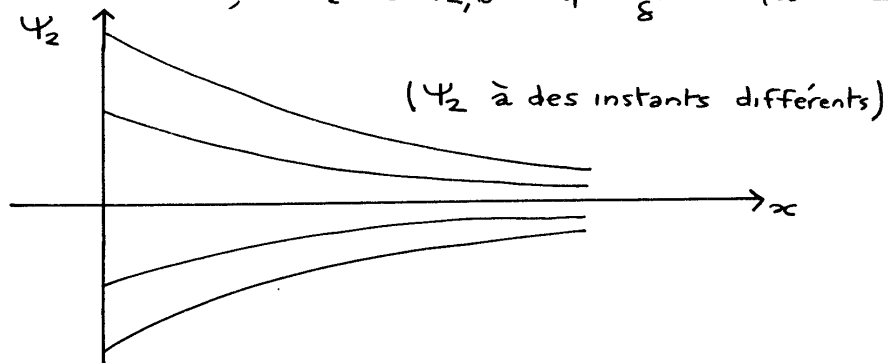
$$\vec{v}_{\varphi,2} = \frac{v_1}{\sin i_1} \vec{u}_z$$

Cette vitesse vaut donc  $\frac{c}{n_1 \sin i_1}$  avec  $n_1 \sin i_1 > n_2$

donc

$$v_{\varphi,2} < v_2$$

14) A  $z$  constant,  $\psi_2 = \psi_{2,0} \exp\left(-\frac{x}{\delta}\right) \cos(\omega t - \varphi)$



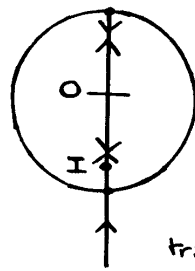
- tous les points sont en phase
- l'amplitude diminue exponentiellement si  $x$  augmente

Il s'agit d'une onde évanescente  
(pas de propagation selon  $x$ )

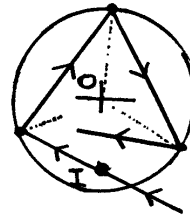
15) Le trajet dans la fibre sera plan si le rayon incident se trouve dans un plan contenant l'axe de révolution de la fibre

(voir schémas)

projection :

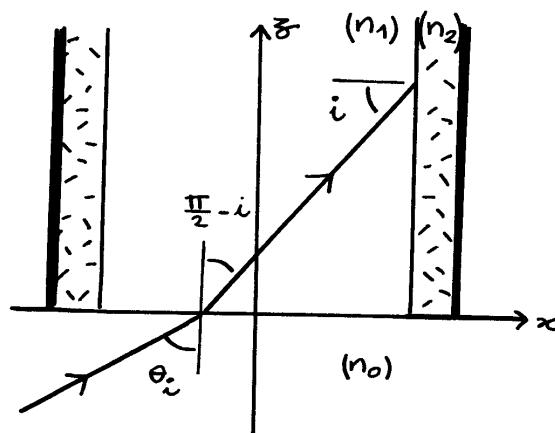


trajet plan



trajet non plan

15)



il y a réfraction si il existe  $n_2$  tel que

$$n_1 \sin i = n_2 \sin r_2$$

il y a réflexion totale si le calcul donne  $\sin r_2 > 1$  soit

$$n_1 \sin i > n_2$$

$$\sin i > \frac{n_2}{n_1}$$

$$i > i_L$$

avec

$$\sin i_L = \frac{n_2}{n_1}$$

17) sur la face d'entrée

$$n_0 \sin \theta_i = n_1 \sin \left( \frac{\pi}{2} - i \right)$$

$$= n_1 \cos i$$

$$n_0 \sin \theta_i = n_1 \sqrt{1 - \sin^2 \theta_c}$$

$$< n_1 \sqrt{1 - \left(\frac{n_2}{n_1}\right)^2}$$

$$n_0 \sin \theta_i < \sqrt{n_1^2 - n_2^2}$$

( le sens des inégalités est évident sur un dessin.  
 Il faut  $i > n_L$  d'où  $\theta_i < \theta_m$  )

18)

$$\text{O.N.} = \sqrt{n_1^2 - n_2^2}$$

fibre :

$$\sin \alpha_L = \frac{1,410}{1,456}$$

$$\alpha_L = 75,6^\circ$$

$$\text{O.N.} = \sqrt{(1,456)^2 - (1,410)^2}$$

$$\text{O.N.} = 0,363$$

$$\sin \theta_m = 0,363 / 1$$

$$\theta_m = 21,3^\circ$$

guide  
arséniure

$$\sin \alpha_L = \frac{3,0}{3,9}$$

$$\alpha_L = 50,3^\circ$$

$$\text{O.N.} = \sqrt{(3,9)^2 - (3,0)^2}$$

$$\text{O.N.} = 2,49$$

O.N. est supérieur à 1  
 donc pas de restriction sur  $\theta$

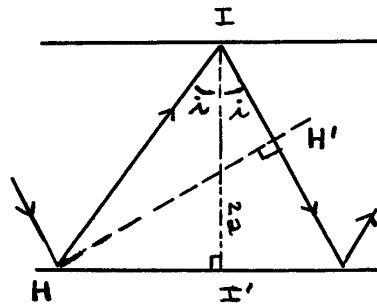
$$\theta_m = \pi/2$$

19) Les ondes en H et H' sont en concordance de phase si

$$\varphi = \varphi_{H'} - \varphi_H = m2\pi$$

↑ entier

2e)



La distance entre H et H' parcourue par le rayon est

$$\begin{aligned}
 d &= HI + IH' \\
 &= HI + HI \cos 2i \\
 &= HI (1 + \cos 2i) \\
 &= \frac{2a}{\cos i} \underbrace{(1 + \cos 2i)}_{2 \cos^2 i}
 \end{aligned}$$

$$d = 4a \cos i$$

$$\varphi = k_1 d$$

$$\varphi = \frac{2\pi}{\lambda_0} n_1 4a \cos i$$

2.1) Les modes possibles doivent donc vérifier

$$\frac{2\pi}{\lambda_0} n_1 4a \cos i_m = m 2\pi$$

$$\cos i_m = m \left( \frac{\lambda_0}{4a n_1} \right)$$

2.2) Il faut de plus tenir compte de la restriction

$$\begin{aligned}
 i &> i_L \\
 \cos i_m &< \cos i_L
 \end{aligned}$$

$$m \left( \frac{\lambda_0}{4 a n_1} \right) < \sqrt{1 - \left( \frac{n_2}{n_1} \right)^2}$$

$$m < \frac{4 a \sqrt{n_1^2 - n_2^2}}{\lambda_0}$$

Soit en tenant compte du mode où le rayon reste parallèle à l'axe, le nombre de modes est :

$$N = \underset{\substack{\uparrow \\ \text{partie} \\ \text{entière}}}{E \left( \frac{4 a \sqrt{n_1^2 - n_2^2}}{\lambda_0} \right)} + 1$$

23) On vient de trouver

$$m < \frac{4 a \sqrt{n_1^2 - n_2^2}}{\lambda_0}$$

$$\frac{1}{v} < \frac{4 a \sqrt{n_1^2 - n_2^2}}{m c}$$

$$v > v_{m, \text{coupure}}$$

avec fréquence de coupure pour le mode  $m$

$$v_{m,c} = m \frac{c}{4 a \sqrt{n_1^2 - n_2^2}}$$

Le dispositif est un passer-haut.

(Pour le mode  $m=0$ , il n'y a pas de limitation)

24) Si  $v < v_{1, \text{coupure}}$  seul le mode  $m=0$  est possible. Donc

$$\frac{c}{\lambda_0} < \frac{c}{4 a \sqrt{n_1^2 - n_2^2}}$$

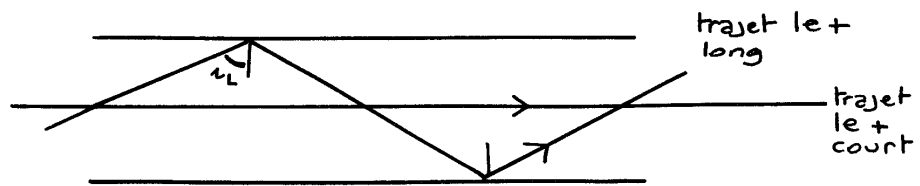
$$a < \frac{\lambda_0}{4 \sqrt{n_1^2 - n_2^2}}$$

A.N.

$$a < \frac{1,5 \cdot 10^{-6}}{4 \sqrt{(1,456)^2 - (1,410)^2}}$$

$$a_{\max} = 1,03 \mu\text{m}$$

25)



Si le trajet le plus court a pour longueur  $L$ ,  
le trajet le plus long a pour longueur  $\frac{L}{\sin \alpha_L} = \frac{L n_1}{n_2}$

donc

$$\Delta t = \frac{\Delta L}{v_1}$$

$$= \frac{L \left( \frac{n_1}{n_2} - 1 \right)}{c/n_1}$$

$$\Delta t = \frac{n_1 L \left( \frac{n_1}{n_2} - 1 \right)}{c}$$

26) Les impulsions sont séparées en sortie si :

$$T > \Delta t$$

$$\frac{1}{T} < \frac{1}{\Delta t}$$

donc

$$R_{\max} = \frac{1}{\Delta t}$$

A.N.

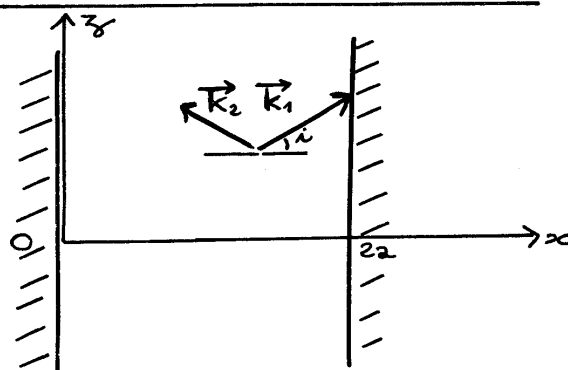
$$\Delta t = \frac{1,456 \cdot 10^3 \left( \frac{1,456}{1,410} - 1 \right)}{3 \cdot 10^8}$$

$$= 0,158 \mu\text{s}$$

$$R_{\max} = 6,3 \cdot 10^6 \text{ bits } \text{s}^{-1}$$

$$= 7,9 \cdot 10^5 \text{ octets } \text{s}^{-1}$$

27)



Les deux OPPM correspondent aux réflexions sur les conducteurs parfaits :

(l'onde 1 donne 2 en se réfléchissant sur le plan  $x=2a$   
l'onde 2 donne 1 en se réfléchissant sur le plan  $x=0$ )

28)

$$\begin{aligned}\vec{k}_1 &= k_0 (\cos i \vec{u}_x + \sin i \vec{u}_z) \\ \vec{k}_2 &= k_0 (-\cos i \vec{u}_x + \sin i \vec{u}_z)\end{aligned}$$

29)

$$\vec{E}_1 = E_{10} \exp j(\omega t - \vec{k}_1 \cdot \vec{r}_{OM}) \vec{u}_y$$

$$\vec{E}_1 = E_{10} \exp j(\omega t - k_0 x \cos i - k_0 z \sin i) \vec{u}_y$$

$$\vec{E}_2 = E_{20} \exp j(\omega t - \vec{k}_2 \cdot \vec{r}_{OM}) \vec{u}_y$$

$$\vec{E}_2 = E_{20} \exp j(\omega t + k_0 x \cos i - k_0 z \sin i) \vec{u}_y$$

Le champ dans le guide est donc :

$$\vec{E} = \vec{E}_1 + \vec{E}_2$$

$$\vec{E} = (E_{10} \exp(-j k_0 x \cos i) + E_{20} \exp(+j k_0 x \cos i)) \exp j(\omega t - k_0 z \sin i) \vec{u}_y$$

30)

31)

Ce champ étant tangential au plan conducteur  $x=0$  et au plan conducteur  $x=2a$ , il doit s'annuler en  $x=0$  et en  $x=2a \quad \forall t$  et  $\forall z$

→ En  $x=0$  :

$$\vec{0} = (E_{10} + E_{20}) \exp j(\omega t - k_0 z \sin i) \vec{u}_y$$

donc  $E_{20} = -E_{10}$

(correspondant au déphasage de  $\pi$  à la réflexion)

On peut déjà simplifier l'écriture de  $\vec{E}$

$$\vec{E} = -2j E_{10} \sin(k_0 x \cos i) \exp j(\omega t - k_0 z \sin i) \vec{u}_y$$

→ En  $x = 2a$  :

$$\vec{0} = -2j E_{10} \sin(k_0 2a \cos i) \exp j(\omega t - k_0 z \sin i) \vec{u}_y$$

$$\text{donc } \sin(k_0 2a \cos i) = 0$$

$$k_0 2a \cos i = m\pi$$

Les angles  $i_m$  possibles sont tels que

$$\cos i_m = m \left( \frac{\lambda_0}{4a} \right)$$

$$(m = 1, 2, 3 \dots)$$

→ La valeur  $m = 0$  ( $i_m = \pi/2$ ) ne convient pas.

• soit on voit que dans ce cas  $\vec{E} = \vec{0}$

• soit on voit que dans ce cas  $k_1 = k_2$

il n'y a plus qu'une seule OPPM qui ne pourra jamais s'annuler en  $x = 0$  et  $x = 2a$ .

32)

$$\cos i_m < 1$$

$$m < \frac{4a}{\lambda_0}$$

Le nombre de modes est donc

$$N = E \left( \frac{4a}{\lambda_0} \right)$$

33) Le guide est donc monomode si  $N = 1$

$$1 < \frac{4a}{\lambda_0} < 2$$

$$\frac{\lambda_0}{2} < 2a < \lambda_0$$

Pour trouver  $\vec{E}$  on remplace  $\cos i$  par  $\frac{\lambda_0}{4a}$

$$\vec{E} = -2jE_0 \sin\left(\frac{2\pi}{\lambda_0} x \frac{\lambda_0}{4a}\right) \exp j\left(\omega t - \frac{2\pi}{\lambda_0} z \sqrt{1 - \left(\frac{\lambda_0}{4a}\right)^2}\right) \vec{u}_y$$

$$\vec{E} = -2jE_0 \sin\left(\frac{\pi x}{2a}\right) \exp j\left(\frac{2\pi}{\lambda_0} (ct - z \sqrt{1 - \left(\frac{\lambda_0}{4a}\right)^2})\right) \vec{u}_y$$

$$\boxed{\vec{E} = 2E_0 \sin\left(\frac{\pi x}{2a}\right) \sin\left(\frac{2\pi}{\lambda_0} (ct - z \sqrt{1 - \left(\frac{\lambda_0}{4a}\right)^2})\right) \vec{u}_y}$$

Pour trouver  $\vec{B}$  avec  $\text{rot } \vec{E} = -\frac{\partial \vec{B}}{\partial t}$

$$\begin{array}{l} \frac{\partial}{\partial x} \left| \begin{array}{l} 0 \\ \vec{E} \\ 0 \end{array} \right| = -j\omega \vec{B} \\ \downarrow \\ -j\frac{2\pi}{\lambda_0} \sqrt{1 - \left(\frac{\lambda_0}{4a}\right)^2} \end{array}$$

$$\vec{B} = -\sqrt{1 - \left(\frac{\lambda_0}{4a}\right)^2} \frac{E}{c} \vec{u}_x - \frac{1}{j\omega} \frac{\partial E}{\partial x} \vec{u}_z$$

$$\boxed{\vec{B} = \frac{2E_0}{c} \left( -\sqrt{1 - \left(\frac{\lambda_0}{4a}\right)^2} \sin\left(\frac{\pi x}{2a}\right) \sin\left(\frac{2\pi}{\lambda_0} (ct - z \sqrt{1 - \left(\frac{\lambda_0}{4a}\right)^2})\right) \vec{u}_x + \frac{\lambda_0}{4a} \cos\left(\frac{\pi x}{2a}\right) \cos\left(\frac{2\pi}{\lambda_0} (ct - z \sqrt{1 - \left(\frac{\lambda_0}{4a}\right)^2})\right) \vec{u}_z \right)}$$

34)  $\rightarrow$  ce mode existe si  $\frac{\lambda_0}{4a} < 1$   
 $\frac{\lambda_0}{2} < 2a$  (vu en 33)

$$\boxed{\omega > \frac{c}{4a}}$$

$\uparrow$  fréquence de coupure

$$\begin{aligned} \rightarrow \vec{\Pi} &= \vec{E} \wedge \frac{\vec{B}}{\mu_0} \\ &= \frac{E B_z}{\mu_0} \vec{u}_x - \frac{E B_x}{\mu_0} \vec{u}_z \\ \langle \vec{\Pi} \rangle &= 0 \vec{u}_x + \frac{4E_0^2}{c\mu_0} \sqrt{1 - \left(\frac{\lambda_0}{4a}\right)^2} \sin^2\left(\frac{\pi x}{2a}\right) \frac{1}{2} \vec{u}_z \end{aligned}$$

$$\boxed{\langle \vec{\Pi} \rangle = 2\epsilon_0 c E_0^2 \sqrt{1 - \left(\frac{\lambda_0}{4a}\right)^2} \sin^2\left(\frac{\pi x}{2a}\right) \vec{u}_z}$$

$$\begin{aligned}
 \rightarrow P &= \iint_{\text{section}} \langle \pi_z \rangle dS \\
 &= \langle \overline{\pi_z} \rangle (2a)^2 \\
 &\quad \uparrow \\
 &\quad \text{valeur moyenne} \\
 &\quad - \text{dans le temps} \\
 &\quad - \text{sur la section} \\
 &= 2 \epsilon_0 c E_0^2 \sqrt{1 - \left(\frac{\lambda_0}{4a}\right)^2} \frac{1}{2} \overbrace{4a^2}^S \\
 \boxed{P} &= \epsilon_0 c E_0^2 \sqrt{1 - \left(\frac{\lambda_0}{4a}\right)^2} S
 \end{aligned}$$

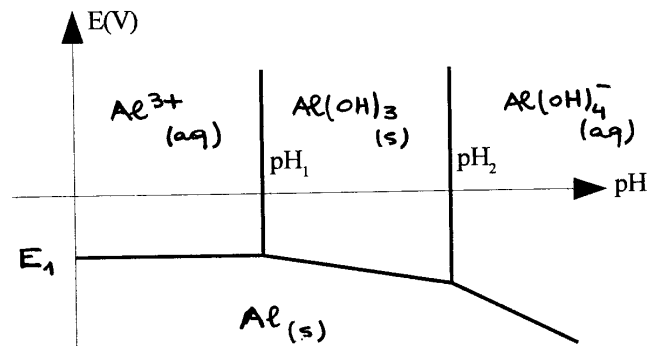

---

## Aluminium

1)

n.o. Al	
Al(s)	: 0
Al <sup>3+</sup> (aq)	: III
Al(OH) <sub>3</sub> (s)	: III
Al(OH) <sub>4</sub> <sup>-</sup> (aq)	: III

2)



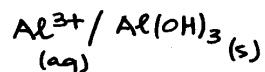
- pour les espèces solubles  $\text{Al}^{3+}(\text{aq})$  et  $\text{Al}(\text{OH})_4^{-}(\text{aq})$  il s'agit de domaines de prédominance
- pour les espèces solides  $\text{Al}(\text{s})$  et  $\text{Al}(\text{OH})_3(\text{s})$  il s'agit de domaines d'existence (voir remarque complémentaire à la fin du corrigé)

3) → Le diagramme étant fait pour  $c = 10^{-6} \text{ mol L}^{-1}$ , le résultat est donné par le diagramme

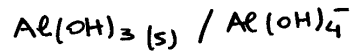
précipité pour  $\text{pH}_1 < \text{pH} < \text{pH}_2$

→  $\text{Al}(\text{OH})_3(\text{s})$  est un ampholyte puisque

- il joue le rôle de base dans le couple acide base

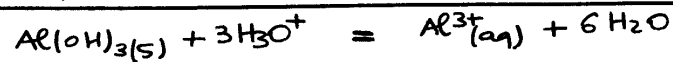


• il joue le rôle d'acide dans le couple acide base



→ réactions :

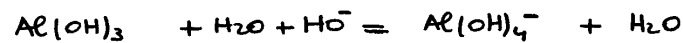
$\text{Al(OH)}_3$  est une base et réagit avec  $\text{H}_3\text{O}^+$  si on acidifie



$\text{Al(OH)}_3$  est un acide et réagit avec  $\text{HO}^-$  si on basifie



la réaction est à écrire en milieu basique

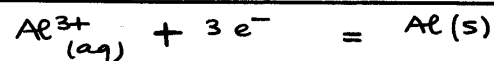


finalement :



4) frontière  $\text{Al}^{3+}(\text{aq}) / \text{Al}(\text{s})$

demi réaction correspondante :



$$E = E^\circ_{\text{Al}^{3+}/\text{Al}} + \frac{0,06}{3} \log [\text{Al}^{3+}]$$

$$\rightarrow \begin{matrix} E \\ \text{frontière} \end{matrix} = E^\circ_{\text{Al}^{3+}/\text{Al}} - 0,02 \text{ pC}$$

donc :

$$E^\circ_{\text{Al}^{3+}(\text{aq})/\text{Al}(\text{s})} = E_1 + 0,02 \text{ pC}$$

$$\text{A.N.} \quad = -1,79 + 0,02 \times 6$$

$$E^\circ_{\text{Al}^{3+}(\text{aq})/\text{Al}(\text{s})} = -1,67 \text{ V}$$

5) frontière  $\text{Al}^{3+}(\text{aq}) / \text{Al(OH)}_3(\text{s})$

réaction dont la constante est égale au produit de

solubilité :



$$K_s = \frac{[\text{Al}^{3+}] K_e^3}{h^3}$$

$$\log K_s = \log[\text{Al}^{3+}] + 3 \log K_e - 3 \log h$$

→ A la frontière  $[\text{Al}^{3+}] = c$  et  $\log h = \log h_1$

$$\log K_s = \log c + 3 \log K_e - 3 \log h_1$$

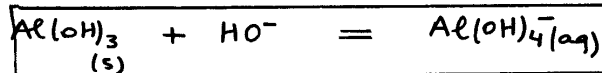
A.N.

$$= 6 + 3 \times 14 - 3 \times 4,7$$

$$\log K_s = 33,9$$

e) frontière  $\text{Al(OH)}_3(\text{s}) / \text{Al(OH)}_4^-(\text{aq})$

réaction envisagée



de constante :

$$K = \frac{[\text{Al(OH)}_4^-]}{[\text{HO}^-]}$$

$$= \frac{[\text{Al(OH)}_4^-] h}{K_e}$$

avec de plus :

$$K_s = [\text{Al}^{3+}] [\text{HO}^-]^3$$

(présence du précipité)

$$\beta_4 = \frac{[\text{Al(OH)}_4^-]}{[\text{Al}^{3+}] [\text{HO}^-]^4}$$

$$K = K_s \beta_4$$

donc

$$K_s \beta_4 = \frac{[\text{Al(OH)}_4^-] h}{K_e}$$

$$\log \beta_4 = \log K_s + \log K_e - \log h - \log [\text{Al(OH)}_4^-]$$

→ A la frontière  $[\text{Al(OH)}_4^-] = c$  et  $\log h = \log h_2$

$$\log \beta_4 = \log K_s + \log K_e - \log h_2 - \log c$$

$$\text{A.N.} \quad = 33,9 + 14 - 8,7 - 6$$

$$\log \beta_4 = 33,2$$

$$\beta_4 = 10^{33,2}$$

7) Pentas :

$$\text{Al}^{3+}/\text{Al} \quad : \quad \boxed{\text{pente} : 0}$$



$$\text{dans la loi de Nernst} : \quad \frac{0,06}{3} \log [\text{H}^+]^3$$

$$= \underline{-0,06 \text{ pH}}$$

$$\boxed{\text{pente} : -0,06}$$



$$\text{dans la loi de Nernst} : \quad \frac{0,06}{3} \log [\text{H}^+]^4$$

$$= \underline{-0,08 \text{ pH}}$$

$$\boxed{\text{pente} : -0,08}$$

8)  $\rightarrow$  Al soluble existe sous forme  $\text{Al}^{3+}$  et sous forme  $\text{Al(OH)}_4^-$   
(chacune ne contenant qu'un seul Al) d'où

$$\Delta = 1 [\text{Al}^{3+}] + 1 [\text{Al(OH)}_4^-]$$

$$\Delta = \frac{K_s}{K_e^3} h^3 + K_s K_e \beta_4 \frac{1}{h}$$

$\rightarrow$  On simplifie pour ne considérer que la forme prédominante

$$\underline{[\text{Al}^{3+}] > [\text{Al(OH)}_4^-]} \quad \text{si} \quad \frac{K_s}{K_e^3} h^3 > K_s K_e \beta_4 \frac{1}{h}$$

$$h^4 > K_e^4 \beta_4$$

$$\text{pH} < \text{p}K_e - \frac{1}{4} \log \beta_4$$

$$\text{pH} < 14 - \frac{1}{4} \cdot 33,2$$

$$\underline{\text{pH} < 5,7}$$

$$\text{alors } \Delta \approx \frac{K_s h^3}{K_e^3}$$

$$\begin{aligned} \log \Delta &= 3 \text{p}K_e - \text{p}K_s - 3 \text{pH} \\ &= 3 \times 14 - 33,9 - 3 \text{pH} \end{aligned}$$

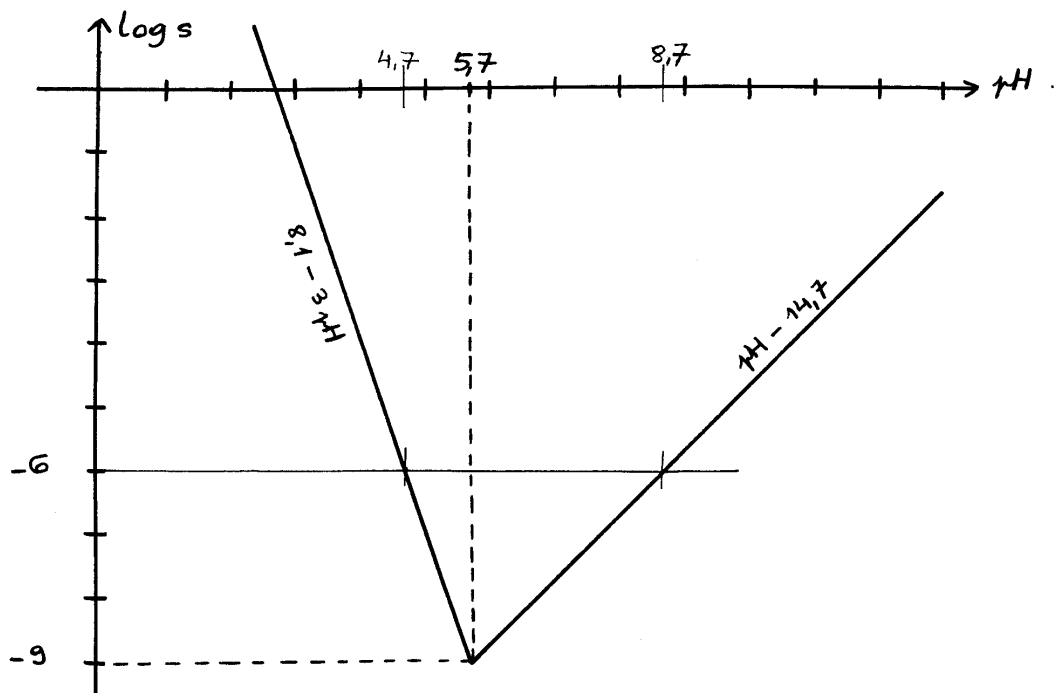
$$\log \Delta = 8,1 - 3 \text{pH}$$

$$\underline{[\text{Al}(\text{OH})_4^-] > [\text{Al}^{3+}] \text{ si } \underline{\text{pH} > 5,7}}$$

$$\text{alors } \Delta \approx \frac{K_s K_e \beta_4}{h}$$

$$\begin{aligned} \log \Delta &= \text{pH} - \text{p}K_s - \text{p}K_e + \log \beta_4 \\ &= \text{pH} - 33,9 - 14 + 33,2 \end{aligned}$$

$$\log \Delta = \text{pH} - 14,7$$



Avec cette approximation, la solubilité minimale est

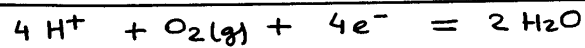
$$\Delta = 10^{-9} \text{ mol L}^{-1} \text{ pour } \text{pH} = 5,7$$

MIN

remarque : pour  $\Delta = 10^{-6}$ , on retrouve les valeurs  $\text{pH}_1$  et  $\text{pH}_2$

9) Diagramme potentiel-pH pour l'eau

$\text{O}_2/\text{H}_2\text{O}$   
(g)

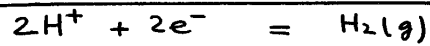


$$E = 1,23 + \frac{0,06}{4} \log [\text{H}^+]^4 + \frac{0,06}{4} \log \frac{P_{\text{O}_2}}{P^0}$$

$$E = 1,23 - 0,06 \text{ pH}$$

frontière

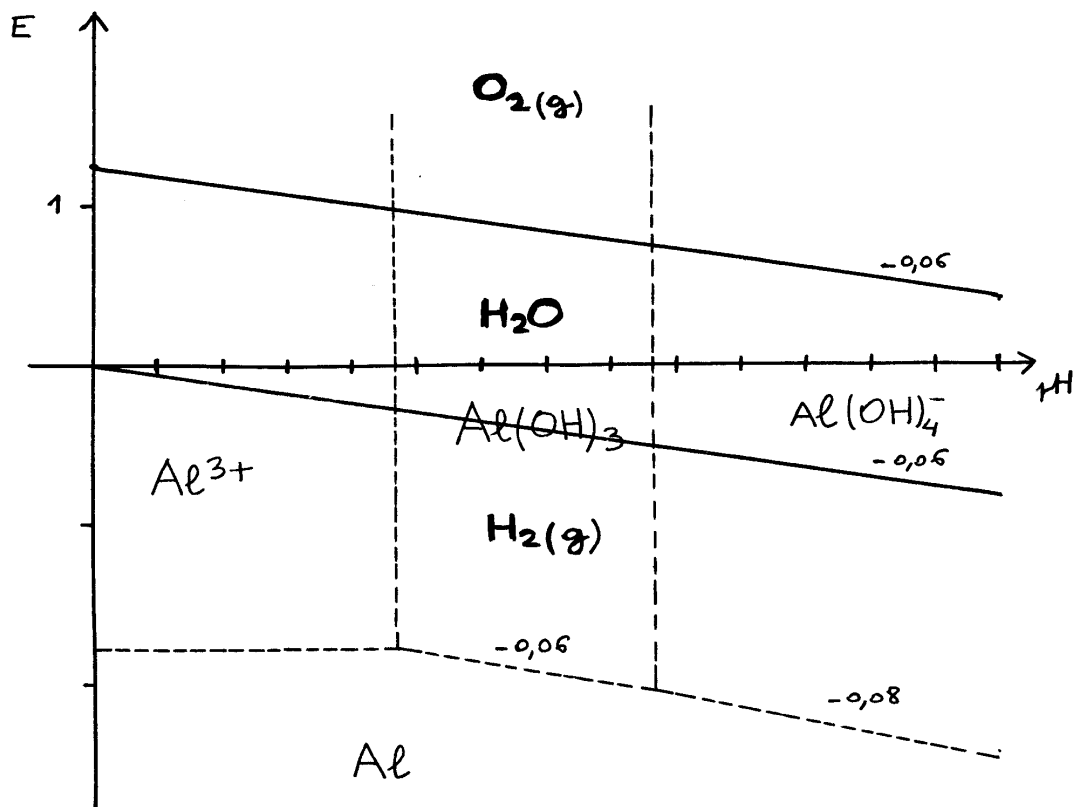
$\text{H}^+/\text{H}_2(\text{g})$



$$E = \frac{0,06}{2} \log [\text{H}^+]^2 - \frac{0,06}{2} \log \frac{P_{\text{H}_2}}{P^0}$$

$$E = -0,06 \text{ pH}$$

frontière



10)  $\rightarrow$   $\text{Al}$  et  $\text{H}_2\text{O}$  n'ont pas de domaine commun.

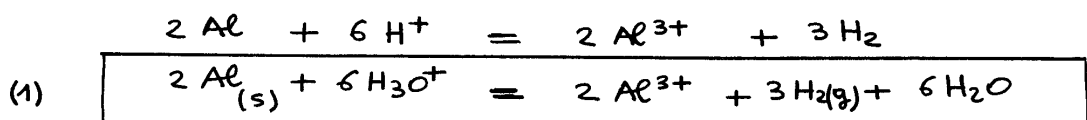
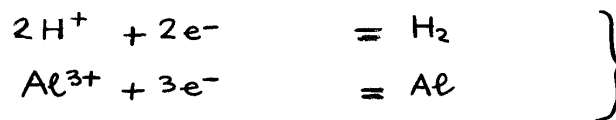
$\text{Al}$  est donc attaqué par  $\text{H}_2\text{O}$  et n'est pas un métal

noble

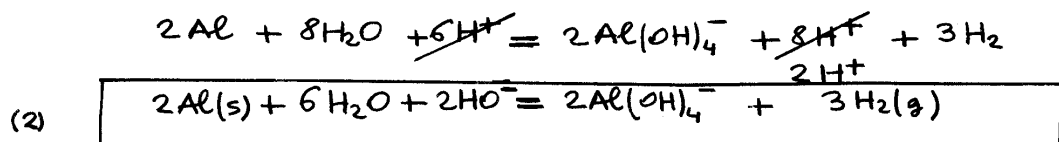
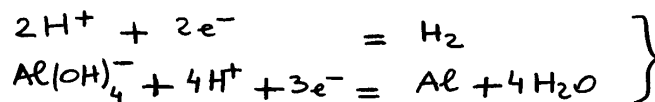
- domaine Al(s) : immunité  
 domaines  $Al^{3+}$  et  $Al(OH)_4^-$  (aq) : corrosion  
 domaine Al(OH)<sub>3</sub>(s) : passivité.
- 

- 11) → A l'air ambiant, Al(s) se recouvre d'une couche de Al<sub>2</sub>O<sub>3</sub>(s) qui protège l'aluminium de l'attaque ultérieure (passivation)
- La couche d'Al<sub>2</sub>O<sub>3</sub>(s) se dissout en milieu suffisamment acide ou suffisamment basique et donc Al est alors attaqué.
- L'aluminium en poudre est plus réactif : la surface à protéger est plus élevée, Al<sub>2</sub>O<sub>3</sub> ne se fixe pas suffisamment ?
- 

12) réaction en milieu fortement acide :



réaction en milieu fortement basique :



détermination de la constante de réaction de (1)

$$\log K^{\circ} = \frac{n}{0,06} (E_D^{\circ} - E_G^{\circ})$$

$$\begin{aligned} \log K_1^{\circ} &= \frac{6}{0,06} (E_{H^+/H_2}^{\circ} - E_{Al^{3+}/Al}^{\circ}) \\ &= \frac{6}{0,06} (0 - (-1,67)) \end{aligned}$$

$$K_1^{\circ} = 10^{167}$$

(réaction "totale")

13) On note  $[Al(aq)] = c$

Pour la réaction d'ordre 1 :

$$\begin{aligned} v &= -\frac{dc}{dt} = kc \\ -\int_{c_0}^c \frac{dc'}{c'} &= k \int_0^t dt \end{aligned}$$

$$\ln \frac{c_0}{c} = kt$$

14)  $\ln c_0 - \ln c = kt$

$$\ln c = -kt + \ln c_0$$

On porte en  $x$  :  $t$

en  $y$  :  $\ln c$

La regression linéaire donne

$$y = ax + b$$

$$a = -0,00431$$

$$b = -2,906584$$

(corrélation et  $R^2$  très proches de 1  
en valeur absolue)

La visualisation des points expérimentaux et de la droite modèle montre que l'accord avec le modèle est de bonne qualité.

$$k = 0,00431 \text{ h}^{-1}$$

---

15) En  $t = t_{1/2}$

$$c = c_0 - \frac{c_0}{2} = \frac{c_0}{2}$$

$$\ln \frac{c_0}{c_0/2} = k t_{1/2} \quad \text{soit :}$$

$$t_{1/2} = \frac{\ln 2}{k}$$

$$\text{A.N.} \quad = \frac{0,693}{0,00431}$$

$$t_{1/2} = 161 \text{ h}$$

---

16)  $k$  devrait garder la même valeur numérique.  
L'ordre global de la réaction ne vaut pas 1

---